功能材料

基于羧酸基-酚羟基配体 Pr 配合物的结构、荧光性质以及 辅助配体的影响

罗仕超,彭庆鹏,张洪涛,刘楚湖,江尚坤,王莹,关磊* (辽宁石油化工大学石油化工学院,辽宁抚顺 113001)

摘要:采用 3,3'-偶氮双 (6-羟基苯甲酸) 二钠 (Na_2H_2L) 为配体,通过水热法与 Pr^{3+} 反应得到两个配合物 $[Pr(H_2L)_{0.5}(L)_{0.5}(H_2O)_2]_n(1)$ 和 Pr(HL) (phen) $(H_2O)_5 \cdot 2H_2O(2)$ (phen = 1,10-邻菲罗啉)。配合物 1 中, H_2L^2 -阴离子作为四齿配体,2 个羧酸基分别以 μ_2 - η^1 : η^1 的方式与 Pr^{3+} 配位,形成二维层状结构,并且 L^4 -阴离子作为桥连配体,利用羧酸基和酚羟基分别以 μ_2 - η^2 : η^1 和桥连模式将二维层中 3 个相邻的 Pr^{3+} 连接,将结构拓展成三维网络结构,其 Schläfli 符号为 $\{4^2 \cdot 8^4\}$ $\{4^6 \cdot 6^6 \cdot 8^3\}$ $\{4^7 \cdot 6^3\}_2$ 。引入 phen 分子,配合物 2 变为单核结构,phen 与 Pr^{3+} 螯合配位, HL^{3-} 作为单齿配体与 Pr^{3+} 配位。配合物 1 和 2 分别在 638 和 778 nm,652 和 781 nm 处有 Pr^{3+} 的特征荧光发射峰,颜色落在色度图的橙色区域内,是 1S_0 一 1I_6 和 1D_2 $\rightarrow ^3H_4$ 能级跃迁所致。配合物 2 的荧光强度高于配合物 1,且主峰红移 14 nm,归因于 phen 的共轭体系以及与 Pr^{3+} 配位作用。

关键词:镨离子:配位聚合物:三维结构;荧光:辅助配体

中图分类号:0614.33 文献标识码:A 文章编号:0258-3283(2024)06-0026-07

DOI: 10.13822/j.cnki.hxsj.2024.0041

Structures, Fluorescence Properties and Influence of Auxiliary Ligand on Pr Complexes Based on Carboxylate-Phenol Ligand LUO Shi-chao, PENG Qing-peng, ZHANG Hong-tao, LIU Chu-hu, JIANG Shang-kun, WANG Ying, GUAN Lei* (School of Petrochemical Engineering, Liaoning Petrochemical University, Fushun 113001, China)

Abstract: Two complexes $[\Pr(H_2L)_{0.5}(L)_{0.5}(H_2O)_2]_n(1)$ and $\Pr(HL)(phen)(H_2O)_5 \cdot 2H_2O(2)(Na_2H_2L=3,3'-azobis(6-hydroxybenzoic acid))$ disodium, phen = 1,10-phenanthroline) were synthesized by hydrothermal reaction with \Pr^{3+} using Na_2H_2L as ligand. In complex 1, the H_2L^{2-} anions act as tetradentate ligands, which bind to \Pr^{3+} ions through two carboxylate groups in μ_2 - η^1 : η^1 coordination mode, forming a two-dimensional layered structure. Moreover, the L^{4-} anions serve as bridging ligands, which connect the three adjacent \Pr^{3+} ions in two-dimensional layers via the carboxylate and phenol groups in μ_2 - η^2 : η^1 and bridging fashions, respectively, expanding into a three-dimensional network structure with the Schläfli symbol of $\{4^2 \cdot 8^4\} \{4^6 \cdot 6^6 \cdot 8^3\} \{4^7 \cdot 6^3\}_2$. The structure of complex 2 transforms into a mononuclear one by the introduction of phen molecules, where phen molecules chelate with \Pr^{3+} , while HL^{3-} anions act as monodentate ligands, coordinating with \Pr^{3+} . Complexes 1 and 2 exhibited the characteristic emissions of \Pr^{3+} at 638 and 778 nm,652 and 781 nm, which fall within the orange region of the CIE chromaticity diagram, corresponding to $^1S_0 \longrightarrow ^1I_6$ and $^1D_2 \longrightarrow ^3H_4$ energy transitions, respectively. The fluorescence intensity of complex 2 was higher than complex 1, and the main peak had red-shift of 14 nm, which was attributed to the conjugated system of phen and its coordination with \Pr^{3+} .

Key words: praseodymium ion; coordination polymer; three-dimensional structure; fluorescence; auxiliary ligand

收稿日期:2024-01-16;网络首发日期:2024-03-22

基金项目:辽宁省教育厅基本科研项目(LJKMZ20220738):辽宁石油化工大学创新创业训练计划项目(S202310148010)。

作者简介:罗仕超(2000-),男,贵州黔西南布依族苗族自治州人,本科生,主要研究方向为功能配位聚合物合成与性质。

通讯作者:关磊,E-mail:syncoord@163.com。

引用本文:罗仕超,彭庆鹏,张洪涛,等.基于羧酸基-酚羟基配体 Pr 配合物的结构、荧光性质以及辅助配体的影响[J].化学试剂, 2024, 46(6): 26-32。

近年来,发光配合物引起了研究者们的广泛 关注,因其荧光发射可调控、强度高、寿命长等优 点以及在众多领域具有潜在的应用价值,比如荧 光材料、传感与检测、医学成像、探测与记录等,其 设计与合成已经成为材料化学与晶体工程领域的 研究热点之一[1-6]。对于发光配合物,其发光来源 主要有金属离子、有机配体和客体分子等。目前, 发光配合物的研究主要集中在过渡金属离子和稀 土金属离子上,尤其以稀土金属离子为主[7,8]。 由于稀土离子核外电子及轨道的特点,一般来说 稀土离子荧光效率与配体有直接联系。一些配体 能够利用"天线效应"敏化稀土离子,使其荧光效 率显著提高;另一些配体则不能显著提高稀土离 子的荧光效率[9]。目前,具有荧光性能的稀土配 合物的构筑以及荧光性质研究都是据此展开 的[10]。对于配体是如何影响稀土配合物的荧光 性能,尤其是对于配体吸收紫外-可见光的能力是 如何影响稀土配合物的荧光性能的问题一直是本 领域研究的热点之一[11]。

稀土配合物的结构主要受中心金属离子的配 位构型和配体的配位方式两个主要因素影响。众 所周知,构筑稀土配合物所用配体多为芳香羧酸 基配体。其配位方式多样,形成的配位键比较稳 定,包括 μ_1 - η^1 、 μ_1 - η^2 和 μ_2 - η^2 等 $^{[12-14]}$ 。如含有多 个羧酸基团时,羧酸基所在位置不同,受空间位阻 的影响,其配位方式亦有所不同,可构筑结构多样 的配合物。此外,羧酸基与稀土金属离子配位可 形成不同的次级结构单元,有效的促进结构整体 框架的延伸,提高目标配合物结构的稳定性。另 外,在芳环羧酸基配体上添加供电子基,如羟基、 胺基等官能团,不仅可以增加其配位点以及配位 方式,合成结构更稳定、新颖的稀土配合物[15,16]。 同时,还可以促进配体到稀土金属离子的能量转 移,敏化稀土金属离子,促使其特征荧光发射。但 是,研究稀土配合物的发光性质以及能量转移问 题仍面临较大的挑战,除最基本的影响因素外,配 体的共轭体系、客体分子、配合物的刚度、分子间 的弱相互作用等的影响也不容小觑[17]。

本文通过水热法,利用 Na_2H_2L 为配体与 Pr^{3+} 反应合成得到了两个 Pr 配合物 $[Pr(H_2L)_{0.5}(L)_{0.5}(H_2O)_2]_n$ 和 $Pr(HL)(phen)(H_2O)_5 \cdot 2H_2O_0$ 通过辅助配体 phen 的引入,将具有三维结构的 Pr 配位聚合物转变成单核结构。对其组

成、结构以及热稳定性进行了表征。此外,还考察 了结构与 phen 分子对荧光发射性质的影响。

1 实验部分

1.1 主要仪器与试剂

Apex-II CCD 型单晶 X 射线衍射仪(德国 Bruker 公司);750 型 FT-IR 光谱仪(4 000~400 cm⁻¹,KBr 压片,德国 Magna 公司);2400 型元素 分析仪、TGA 7 型热重分析仪(25~900 ℃, N₂气 氛,美国 Perkin-Elmer 公司);F-4700 型荧光光谱仪(日本 Hitachi 公司)。

实验所用药品和溶剂均购买于上海阿拉丁生化科技股份有限公司;所用试剂均为分析纯。

1.2 配合物 1 的合成

将 0.035 g (0.1 mmol) Na_2H_2L 和 0.044 g (0.1 mmol) $Pr(NO_3)_3 \cdot 6H_2O$ 溶解在 15 mL 去离子水中,在室温下搅拌 2 h。然后,将溶液封装在聚四氟乙烯内衬的高压反应釜(20 mL) 中。在 120 °C 下加热 3 d 后,缓慢冷却至室温,得到绿色块状晶体。将晶体颗粒过滤,用去离子水和乙醇清洗后置于干燥器中,产率为 54%。元素分析, $C_{14}H_{13}N_2O_8Pr$,实测值(计算值),%:C 35.23 (35.15);H 2.78 (2.72);N 5.88 (2.72);N 2.8 (2.72);N 2.72 (2.72);N 2.72

1.3 配合物 2 的合成

将 $0.035 g(0.1 \text{ mmol}) \text{Na}_2\text{H}_2\text{L}, 0.044 g(0.1 \text{ mmol}) \text{Pr}(\text{NO}_3)_3 \cdot 6\text{H}_2\text{O}$ 和 0.020 g(0.1 mmol) phen 溶解在 15 mL 去离子水中,在室温下搅拌 2 h。然后,将溶液封装在聚四氟乙烯内衬的高压反应釜(20 mL)中。在 120 °C 下加热 3 d 后,缓慢冷却至室温,得到绿色块状晶体。将晶体颗粒过滤,用去离子水和乙醇清洗后置于干燥器中,产率为 55%。元素分析, $C_{26}\text{H}_{29}\text{N}_4\text{O}_{13}\text{Pr}$,实测值(计算值),%:C 41.88(41.80);H 4.00(3.89);N 7.57(7.50)。 IR(KBr), ν ,cm⁻¹:3 370(OH),1 620、1 516、1 422 、1 $479(\text{C}\longrightarrow\text{O})$,1 $587(\text{C}\longrightarrow\text{C})$,1 377、1 $338(\text{N}\longrightarrow\text{N})$,1 299 、1 248 、1 185 、1 $138(\text{C}\longrightarrow\text{O})$,918、836、789、728、679(C $\longrightarrow\text{H})$ 。

1.4 测定配合物晶体结构

在296 K下,配合物1和2单晶结构通过

Bruker Apex- II CCD 单晶 X-射线衍射仪进行测定。使用单色化的 Mo-K_α 射线,以 φ - ω 扫描方式采集数据,并进行吸收校正。利用直接法,SHELX 软件包进行结构解析和精修^[18,19]。 CCDC No.: 2323853,2324221。配合物 1 和 2 的晶体数据和结构精修数据均列于表 1,部分键长和键角列于表 2。

表 1 配合物 1 和 2 的晶体数据和结构精修数据

Tab.1 Crystal data and structural refinement data for complexes 1 and 2

	配合物1	配合物 2
Chemical formula	$\rm C_{14}H_{13}N_{2}O_{8}Pr$	$\rm C_{26}H_{29}N_4O_{13}Pr$
$M_{ m r}$	478. 17	746. 44
Crystal system, space group	Monoclinic, $C2/c$	Triclinic, P-1
a,b,c/Å	20. 634(12), 7. 334(4), 25. 789(12)	8. 987(2), 10. 001(2), 17. 415(4)
$lpha,eta,\gamma/({}^\circ)$	105. 354(15)	76. 567(6), 87. 094(7), 70. 595(6)
$V/\text{Å}^3$	3 763(3)	1 435.5(5)
Z	8	2
Radiation type	Mo- K_{α}	$\mathrm{Mo} extsf{-}K_{lpha}$
$\mu/(\text{mm}^{-1})$	2. 63	1. 77
No.of measured, independent and observed $[I>2\sigma(I)]$ reflections	8 943,4 382, 3 672	12 626,6 441, 6 175
$R_{ m int}$	0.05	0. 039
$(\sin\theta/\lambda)_{max}/(\mathring{A}^{-1})$	0.663	0. 651
$R[F^2>2\sigma(F^2)]$, $wR(F^2)$, S	0. 076, 0. 290, 1. 25	0. 039, 0. 117, 1. 04
No. of reflections	4382	6441
No.of parameters	226	404
No. of restraints	2	2
$\Delta \rho_{\rm max}$, $\Delta \rho_{\rm min}/({\rm e}\cdot{\rm \mathring{A}}^{-3})$	5. 73, -4. 11	0.78,-0.79

表 2 配合物 1 和 2 的部分键长和键角^注

Tab.2 Selected bond lengths and angles for complexes 1 and 2

配合物 1				
化学键	键长/nm	化学键	键长/nm	
Pr1—01	2. 528(6)	Pr1—O3 ⁱ	2. 611(7)	
Pr1—O2 ⁱ	2.496(6)	Pr1—O4	2. 482(6)	
Pr1—O2	2.404(6)	Pr1—06	2.517(9)	
Pr1—O1 ⁱⁱ	2.562(6)	Pr1—07	2. 555(7)	
Pr1—0004 ⁱ	2. 523(7)			

续表

配合物 1				
化学键	键角/(°)	化学键	键角/(°)	
O2—Pr1—O4	71.0(2)	02 ⁱ —Pr1—07	67.0(2)	
02 — $Pr1$ — 02^{i}	126. 17(15)	04—Pr1—01	90.4(2)	
$O2$ — $Pr1$ — $O004^{i}$	73.4(2)	0004 ⁱ —Pr1—01	82.0(2)	
04—Pr1—06	70.5(3)	04—Pr1—O1 ⁱⁱ	88.2(2)	
06—Pr1—02 ⁱ	107.6(3)	0004 ⁱ —Pr1—01 ⁱⁱ	72.0(2)	
$O2^{i}$ —Pr1— $O004^{i}$	74.3(2)	02—Pr1—03 ⁱ	149.6(3)	
06—Pr1—07	74.4(3)	06—Pr1—O1 ⁱⁱ	75.8(3)	
02—Pr1—01	67.8(2)	07—Pr1—O1 ⁱⁱ	146.9(2)	
02 ⁱ —Pr1—01	66.0(2)	04—Pr1—03 ⁱ	136.2(3)	
O2—Pr1—O1 ⁱⁱ	66.8(2)	0004 ⁱ —Pr1—03 ⁱ	77.3(3)	
02 ⁱ —Pr1—01 ⁱⁱ	137. 2(2)	04—Pr1—07	68.5(2)	
O1—Pr1—O1 ⁱⁱ	132. 33(12)	0004 ⁱ —Pr1—07	139.9(2)	
O2—Pr1—O6	126. 2(3)	06—Pr1—01	146.6(3)	
04—Pr1—02 ⁱ	134.0(2)	07—Pr1—01	73.2(3)	
04—Pr1—0004 ⁱ	143.8(2)	02 ⁱ —Pr1—03 ⁱ	50.3(2)	
06—Pr1—0004 ⁱ	129.3(3)	01—Pr1—03 ⁱ	116.0(2)	
01 ⁱⁱ —Pr1—03 ⁱ	96.6(2)	06—Pr1—03 ⁱ	68.7(3)	
02—Pr1—07	122.3(2)	07—Pr1—03 ⁱ	85.8(3)	
	配台	計物 2		
化学键	键长/nm	化学键	键长/nm	
Pr1—04	2.756(3)	Pr1—N3	2.914(3)	
Pr1—09	2.906(3)	Pr1—08	2.893(3)	
Pr1—011 ⁱ	2.977(3)	Pr1—011	2.861(3)	
Pr1—07	2.745(3)	Pr1—N4	2.906(3)	
Pr1010	2.729(3)			
化学键	键角/(°)	化学键	键角/(°)	
04—Pr1—09	130. 24(8)	O10—Pr1—O11 ⁱ	124. 24(8)	
04—Pr1—011 ⁱ	68.48(7)	010—Pr1—07	128.03(10)	
04—Pr1—011	72.36(8)	O10—Pr1—N3	70. 26(9)	
04—Pr1—N3	75.76(8)	010—Pr1—08	68.79(9)	
O4—Pr1—O8	133. 19(8)	O10—Pr1—N4	106.69(8)	
O4—Pr1—N4	68.51(8)	N3—Pr1—O11 ⁱ	133.41(8)	
09—Pr1—011 ⁱ	63.75(7)	07—Pr1—O11 ⁱ	67. 28(8)	
09—Pr1—N3	131. 29(8)	N4—Pr1—N3	56.39(9)	
09—Pr1—N4	158. 77(8)	07—Pr1—011	134. 20(8)	
011—Pr1—09	76. 95(8)	N4—Pr1—O11 ⁱ	128.70(8)	
011—Pr1—011 ⁱ	66. 92(8)	07—Pr1—09	82.74(8)	
O11—Pr1—N3	74. 58(8)	08—Pr1—N4	67.34(8)	
O7—Pr1—N3	143. 72(9)	08—Pr1—N3	92. 24(8)	
O7—Pr1—O8	71.78(9)	07—Pr1—04	91.51(9)	
O7—Pr1—N4	87. 34(9)	08—Pr1—011 ⁱ	134. 08(7)	
010—Pr1—04	140. 40(9)	O11—Pr1—N4	122.60(8)	
010—Pr1—09	66. 23(8)	08—Pr1—09	91.68(8)	
O10—Pr1—O11	79. 42(9)	011—Pr1—08	148. 14(7)	
注:Symmetry codes for complex 1:($\dot{1}$)- x +1/2, y +1/2,- z +1/				

注:Symmetry codes for complex 1:(i) -x+1/2, y+1/2, -z+1/2; 2;(ii) -x+1/2, y-1/2, -z+1/2; Symmetry code for complex 2:(i) -x+1, -y+1, -z+1.

2 结果与讨论

2.1 配合物 1 晶体结构

单晶 X-射线衍射结果表明,配合物 1 属于单 斜晶系,C2/c空间群(表1)。1个不对称结构单 元包含 1 个 Pr3+、0.5 个 H,L2-、0.5 个 L4-和 2 个 配位水分子(图 1a)。Pr3+是九配位的,分别与 2 个L4-配体中的3个羧酸基氧原子(02、02ⁱ和 03)、2 个酚羟基氧原子(01 和 01ⁱⁱ)、2 个 H₂L²⁻ 中的2个酚羟基氧原子(0004和04)以及2个配 位水分子的氧原子(06和07)配位,呈扭曲的三 帽三棱柱配位构型(图 1b)。Pr-O 键长在 2.404(6)~2.611(7)Å之间,O—Pr—O键角在 50.3(2)°~149.6(3)°之间(表2),这些数值与文 献[20,21]报道的其他 Pr 配合物的数值相似。 H_2L^{2-} 配体为四齿配体,2 个羧酸基均以 μ_2 - η^1 : η^1 的方式连接 2 个 Pr3+,其中,2 个酚羟基均是质子 化的,不参与配位(图 1c); L^4 配体为六齿配体, 羧酸基均以 μ_2 - η^2 : η^1 的方式连接 2 个 Pr^{3+} , 酚羟 基氧原子均桥连相邻的 2 个 Pr^{3+} (图 1d)。 H_2L^{2-} 配体的 2 个羧酸基分别桥连相邻的 2 个 Pr3+,形 成了一个二维层状结构,并且, L4 配体作为桥连 配体将二维层中相邻的3个Pr3+相互连接,将结 构拓展成一个三维网络结构(图 1e)。另外,配合

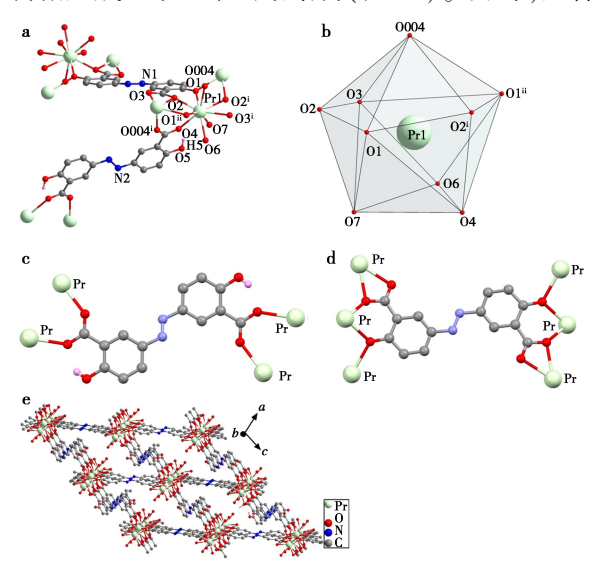


图 1 (a)配合物 1 的分子结构;(b) Pr^{3+} 的配位构型;(c) H_2L^{2-} 配体的配位方式;(d) L^{4-} 配体的配位方式;(e)三维网络结构

Fig.1 (a) Molecular structure of complex 1; (b) coordination configuration of Pr^{3+} ; (c) coordination mode of H_2L^{2-} ligand; (d) coordination mode of L^{4-} ligand; (e) three dimensional network structure

物1的三维结构之间还存在许多氢键,比如酚羟 基和羧酸基之间的氢键(O7—H7B…O004)、酚羟 基和配位水分子之间的氢键(05-H5···07)以及 配位水分子和羧酸基之间的氢键(O7-H7B… 0004)(表3),这些氢键使配合物的晶体结构更 加稳定。文献报道的类似结构的双羧酸基配体自 组装构筑的配位聚合物中,配体只采用一种配位 方式,与过渡金属离子配位形成一维结构。Mu 等[22]采用常温挥发法,利用4,4′-二苯醚二甲酸 (H₂oba)以及 1,10-邻菲罗啉(phen)为配体,与 Cd²⁺反应得到了1个配位聚合物「Cd, (oba), (phen)。]。 Cd1²⁺和 Cd2²⁺都与3个oba²⁻的5个 羧酸基氧原子、1个 phen 的 2个氮原子配位。 在 oba²⁻配体中,2 个羧酸基分别采用 μ_1 - η^2 和 μ_2 - η^2 : η^1 方式桥连 2 个 Cd²⁺,形成[Cd₂(CO₂)₂] 次级结构单元。相邻的次级结构单元通过 oba2-连接,形成一维双链结构。

从拓扑角度分析, H_2L^2 - 配体与 4 个 Pr^{3+} 配位,可视为 4-连接节点; L^4 - 配体与 6 个 Pr^{3+} 配位,可视为 6-连接节点;每个 Pr^{3+} 周围有 5 个配体与其配位,可视为 5-连接节点,因此,该配位聚合物具有 4,5,6-连接网络。拓扑结构的 Schläfli 符号为{ $4^2 \cdot 8^4$ }{ $4^6 \cdot 6^6 \cdot 8^3$ }{ $4^7 \cdot 6^3$ }2(图 2)。

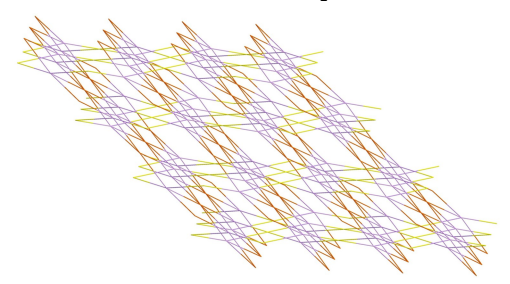


图 2 配合物 1 的拓扑结构

Fig.2 Topological structure of complex 1

表3 配合物1和2的氢键键长和键角注

Tab.3 Hydrogen bond lengths and angles of complexs 1 and 2

D—H… A	$d(D-H)/d(H\cdots A)/d(D\cdots A)/\angle(DHA)/$				
р—п…а	Å	Å	Å	(°)	
	配	合物 1			
05—H5···O7	0. 820	2. 517	3. 120	131. 30	
O5—H5···O4	0.820	1.877	2. 549	138. 41	
O7—H7B⋯O004	0. 960	2. 008	2. 962	172. 62	
09—H9A···O4 ⁱ	0.870	1. 820	2.685(4)	174. 2	
011—H11A····013 i	i 0.870	1. 920	2.781(4)	170. 7	
O11—H11B····O12	0.870	2.080	2.824(4)	142. 7	
O12—H12A···O13	0. 870	1. 970	2. 834(4)	171.7	

续	7	ţ

D—H…A	$d(D-H)/d(H\cdots A)/d(D\cdots A)/ \angle (DHA)/$			
р—п…а	Å	Å	Å	(°)
配合物 2				
O12—H12B····O8 ⁱⁱⁱ	0. 870	2. 000	2.862(4)	170. 5
O13—H13A \cdots O5 iv	0.870	1.880	2.740(4)	171.4
O13—H13B····O3	0.870	1.910	2.760(4)	164. 7
07—H7A⋯012 ⁱ	0.870	2.080	2.779(4)	136. 5
O7—H7B⋯O2 ^v	0.870	1.990	2.771(4)	149. 6
O10—H10A···O3 ⁱⁱ	0.870	1.900	2.772(4)	174. 4
O10—H10B····O3 vi	0.870	1.920	2.780(4)	167. 7
06—H6···05	0.840	1.800	2.523(4)	142. 8
O8—H8B⋯O9 ^{Vİİ}	0. 870	2. 010	2.800(4)	150. 6

注:Symmetry codes for complex 2:(i) -x+1, -y+1, -z+1; (ii) -x+1, -y, -z+1; (iii) x-1, y, z; (iv) x, y-1, z; (v) x+1, y+1, z; (vi) x+1, y, z; (vii) x+1, y, z; (vii) -x+2, -y+1, -z+1.

2.2 配合物 2晶体结构

配合物 2 属于三斜晶系, P-1 空间群(表 1)。 1个非对称结构单元含有 1 个 Pr3+,1 个 HL3-配 体,1个 phen 配体,5个配位水分子和2个游离水 分子(图 3a)。Pr3+是八配位的,分别与HL3-配体 的 1 个羧基氧原子(04),1 个 phen 配体的 2 个氮 原子(N3和N4),5个配位水分子的氧原子(O7、 08、09、010和011)配位,呈十二面体配位构型(图 3b)。Pr—O 键长在 2.729(3)~2.977(3) Å 之间, Pr—N 键长在 2.906(3)~2.914(3) Å 之间,0— Pr-0 键角在 63.75(7)°~148.14(7)°之间(表 2),与其他 Pr 配合物中报道的键长、键角相 似^[20-22]。HL³⁻配体只有一种配位模式,其中1个 酚羟基(06)是质子化的,另1个酚羟基(01)是 去质子化的,没有参与配位,1个羧基氧原子 (O4)与 Pr3+配位,采用单齿配位方式。phen 分子 作为封端配体与 Pr3+螯合配位。Pr3+其他的配位 点被水分子占据。配合物 2 中的配位水、游离水、 酚羟基氧原子与羧酸基氧原子之间形成氢键 $(06-H6\cdots 05,09-H9A\cdots 04^{i},013-H13A\cdots$

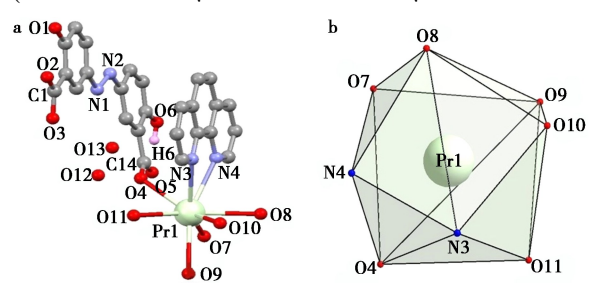


图 3 (a)配合物 2 的分子结构;(b)Pr³*的配位构型 Fig.3 (a)Molecular structure of complex 2; (b) coordination configuration of Pr³*

05^{iv}、011—H11A ··· 013ⁱⁱ、07—H7A ··· 012ⁱ、010—H10A ··· 03ⁱⁱ、012—H12A ··· 013、011—H11B··· 012 和 013—H13B··· 03、010—H10B··· 03^{vi}、012—H12B··· 08ⁱⁱⁱ、07—H7B··· 02^v 和 08—H8B··· 09^{vii})(表 3),这些氢键增加了配合物 2 的结构稳定。

2.3 热重分析

配合物 1 和 2 的热重曲线如图 4 所示。配合 物 1 的第一个失重台阶在 25~124 ℃之间,失重 率为 6.4%, 对应失去 2 个配位水分子(理论值 7.5%);第二个失重台阶在 124~367 ℃之间,失 重率为 33.6%,对应失去 0.5 个 L⁴ 配体(理论值 33.7%);第三个失重台阶在 367~900 ℃之间,是 H_2L^2 -配体的部分热解所致; 当升温至 900 ℃时, 失重曲线仍呈下降趋势,最终残余物可能是 Pr,O₃。配合物 2 的第一个失重台阶在 25~ 156 ℃之间,失重率为 3.0%,对应失去游离水分 子(理论值 4.8%)。第二个失重台阶在 270~ 380 ℃之间,失重率为25.6%,对应失去一个phen 配体(理论值 24.1%)。温度继续升高,HL3-配体 分子开始分解,直至900 ℃热重曲线仍有下降趋 势,配体没有完全分解,最终剩余物质可能是 Pr₂O₃^[23] o

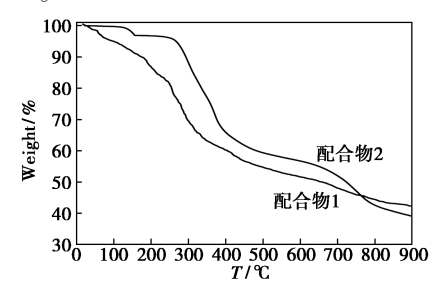


图 4 配合物 1 和 2 的热重曲线

Fig.4 TGA curves of complexes 1 and 2

2.4 荧光性质

稀土元素具有特殊的电子层结构,使它们具有一般元素无法拥有的光谱性质,因此,大部分稀土元素在荧光领域受到了研究者的青睐^[24]。

配合物 1 和 2 的荧光发射光谱如图 5a 所示。在 350 nm 的激发波长下,其分别在 638 和 778 nm、652 和 781 nm 的荧光发射峰为 Pr^{3+} 的特征荧光发射峰,颜色落在色度图的橙色区域内(图 5b),可归因于 Pr^{3+} 的 $^1S_0 \rightarrow ^1I_6$ 和 $^1D_2 \rightarrow ^3H_4$ 能级跃迁 [21]。图中未观察到配体的发射峰,表明配合物 1 和 2 在激发过程中存在配体到金属离子的能量转移。配合物 2 的荧光发射强度高于配合物

1,且主峰红移了 14 nm。由于稀土金属离子 f-f 跃迁禁阻,单一稀土金属离子的发光相对较弱。如果与有机配体配位,配体将能量有效传递给稀土金属离子,可以提高其特征发射^[25,26]。配体结构和取代基不同,决定了其能级、能量吸收及传递效率、振动弛豫等也不尽相同,往往可以导致稀土配合物吸收波长发生改变,荧光强度增强^[27]。Na₂H₂L 配体中的羟基是供电子基团,因此,有利于配体向稀土金属离子的能量转移。此外,辅助配体 phen 的加入对配合物的发光性质的影响也不容忽视。一方面,其较强的配位能力,较高的共轭程度,较好的刚性有利于能量吸收和传递,增加稀土金属离子的能量来源;另一方面,其可以取代水分子占据中心离子的配位点,从而减小水分子高频振动的能量损失,进而提高发光效率^[28]。

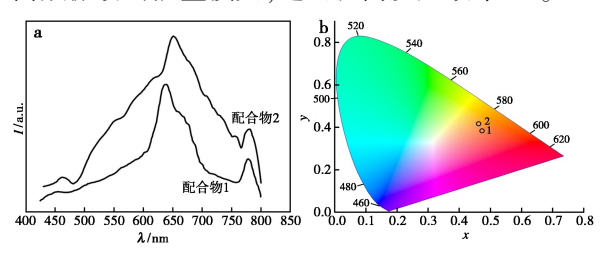


图 5 (a)配合物 1 和 2 的荧光发射光谱; (b)CIE 色度图

Fig.5 Fluorescence emission spectra (a) and CIE chromaticity diagram (b) of complexes 1 and 2

3 结论

以 Na,H,L 为配体,利用水热法与 Pr3+反应得 到 2 个配合物。配合物 1 中,H,L2-作为四齿桥连 配体,利用2个羧酸基分别桥连相邻的2个Pr3+, 形成 1 个二维层状结构。 L^4 作为六齿桥连配体, 利用2个羧酸基和酚羟基桥连二维层中相邻的3 个Pr3+,将其拓展成1个三维网络结构,Schläfli符 号为 $\{4^2 \cdot 8^4\}$ $\{4^6 \cdot 6^6 \cdot 8^3\}$ $\{4^7 \cdot 6^3\}_2$ 。配合物 2 中, HL3-配体利用1个羧酸基与Pr3+单齿配位, phen 分子作为封端配体与 Pr3+螯合配位,占据了其 2 个配位点,将结构过渡到单核结构。配合物1和 2显示出 Pr3+的特征荧光发射峰,分别在 638 和 778 nm、652 和 781 nm 处呈橙色荧光,归属于 ${}^{1}S_{0} \rightarrow {}^{1}I_{6}$ 和 ${}^{1}D_{2} \rightarrow {}^{3}H_{4}$ 能级跃迁。phen 分子的引 入,增加了 Pr3+的特征荧光发射峰强度,主峰红移 了 14 nm, 可归因于 phen 分子的共轭体系以及与 Pr³+的配位相互作用。

参考文献:

- [1] YAN M,ZHU P Z, YANG S Y, et al. A newly-constructed hydrolytically stable Co(II) coordination polymer showing dual responsive fluorescence sensing of pH and Cu²⁺ [J]. CrystEngComm, 2021, 23(24):4 370-4 381.
- [2]徐侨,金京京,张信凤.基于封闭链释放型磁性 DNA 分子机器的化学发光传感体系[J].分析试验室,2022,41(12):1551-1555.
- [3] 张涨展.Eu-2,5-二溴对苯二甲酸金属有机框架的合成及其对铀酰离子的荧光识别[J]. 化学试剂, 2023, **45**(**9**):70-75.
- [4]刘向,杜宪超,顾慧莹,等.聚集诱导发光分子在毒性物质检测中的应用[J].分析试验室,2022,**41**(**8**):984-992.
- [5] HASEGAWA Y, SHOJI S, KITAGAWA Y. Luminescent Eu(III) -based coordination polymers for photonic materials [J]. Chem. Lett., 2022, 51(2):185-196.
- [6] KIMURA S, UEJIMA M, OTA W, et al. An open-shell, luminescent, two-dimensional coordination polymer with a honeycomb lattice and triangular organic radical [J]. J. Am. Chem. Soc., 2021, 143(11):4 329-4 338.
- [7] ZHOU J, YU W T, TANG S S, et al. Tuning the bonding dimensions for coordination polymers based on rare earth metal ions [J]. CrystEngComm, 2022, 24:7 500-7 504.
- [8]ZHANG S H, ZHANG S Y, LI J R, et al.Rational synthesis of an ultra-stable Zn($\rm II$) coordination polymer based on a new tripodal pyrazole ligand for the highly sensitive and selective detection of Fe³⁺ and Cr₂O₇²⁻ in aqueous media[J]. Dalton Trans., 2020, 49(32):11 201-11 208.
- [9] RAN J W, ZHAO X G, HU X Y, et al.3D Tb(III) and Eu(III) coordination polymers with mixed dicarboxylate ligands: Synthesis, structure and luminescence properties [J]. Polyhedron, 2021, 194:114 910.
- [10] MUNIZ C N, PATEL H, FAST D B, et al. Rare earth niobate coordination polymers [J]. J. Solid State Chem., 2018, 259:48-56.
- [11] SMITH J A, SINGH-WILMOT M A, CARTER K P, et al. Eight rare earth metal organic frameworks and coordination polymers from 2-nitroterephthlate; Syntheses, structures, solid-state luminescence and an unprecedented topology[J]. New J. Chem., 2016, 40:7 338-7 349.
- [12] DILIP K M, SAHELI G, KEN-ICHI O, et al. Proton conductivity and sorption study in three sulfonic group functionalized mixed ligand coordination polymers and the impact of structural dynamicity on their property [J]. Inorg. Chem., 2019, 58(19):12 943-12 953.
- [13] MONTSE B, INÉS R S, ROSARIO M P C, et al. Layered

- lanthanide sulfophosphonates and their proton conduction properties in membrane electrode assemblies [J]. *Chem.Mater.*, 2019, **31**(**23**):9 625-9 634.
- [14] ZHANG Z T, SHI J, HE Y, et al. Self-assembly and crystal structure of a barium sulfonate chrysin coordination polymer [J]. *Inorg. Chem. Commun.*, 2006, **9**(**6**): 579-581.
- [15] D'VRIES R F, GOMEZ G E, MONDRAGON L P, et al.

 1D lanthanide coordination polymers based on lanthanides and 4'-hydroxi-4-biphenylcarboxylic acid; Synthesis, structures and luminescence properties [J]. J. Solid State Chem., 2019, 274; 322-328.
- [16] LI X F, WU Y Y, LUN H J, et al. Four isostructural lanthanide coordination polymers based on rare coordinated citric acid: Syntheses, structures, magnetisms and luminescence [J]. Syn. Metals, 2017, 232:103-110.
- [17] LIU X Z, CHEN H T, FAN L M, et al. Syntheses, crystal structures, and luminescence properties of four coordination polymers based on 1,3,5-tris (imidazol-1-yl) benzene [J]. Z. Anorg. Allg. Chem., 2017, 643(2):192-197.
- [18] SHELDRICK G M. Crystal structure refinement with SHELXL[J]. Acta Crystallogr., 2015, C71; 3-8.
- [19] SHELDRICK G M. SHELXTL integrated space-group and crystal-structure determination [J]. *Acta Crystallogr.*, 2015, **A71**; 3-8.
- [20] KHARITONOV A D, TROFIMOVA O Y T, MESHCH-ERYAKOVA I N M, et al.2D-metal-organic coordination polymers of lanthanides (La(II), Pr(III) and Nd(III)) with redox-active dioxolene bridging ligands[J].

 CrystEngComm, 2020, 22(28):4675-4679.
- [21] YAN B, WANG W J, SONG Y H. Double fluorescence conversion in ultraviolet and visible region for some pra-

- seodymium complexes of aromatic carboxyates [J]. *J. Fluorescence*, 2006, **16**:495-500.
- [22] MU X G, ZHANG Y H, WANG L N, et al. A family of coordination polymers derived from a flexible dicarboxylic acid and auxiliary N-donor ligands: Solvothermal synthesis, crystal structure and dye adsorption properties [J]. Tran. Metal. Chem., 2021, 46(3): 219-230.
- [23] WANG G L, TIAN Y M, CAO D X, et al. One-dimensional salen-type chain-like lanthanide (III) coordination polymers; Syntheses, crystal structures, and fluorescence properties [J]. Z. Anorg. Allg. Chem., 2011, 637; 583-588.
- [24] 王莹, 任浩, 关磊. 稀土发光纳米材料的制备与应用研究进展[J]. 辽宁石油化工大学学报, 2016, **36**(**4**): 8-12.
- [25] MA L, EVANS O R, FOXMAN B M, et al. Luminescent lanthanide coordination polymers [J]. *Inorg. Chem.*, 1999, **38**(25):5 837-5 840.
- [26] CHEN N, WANG C J, GUO M W, et al. The construction of a 3D Pr(III) coordination polymer based on 2-methyl imidazole-4,5-dicarboxylate and oxalate ligands [J]. Inorg. Nano-metal Chem., 2012, 42(7);981-986.
- [27] YAN L,ZHANG J L,HU H M, et al. Structural diversity and near-infrared luminescence of lanthanide coordination polymers with different flexibility and coordination orientation based on bipyridyl carboxylate and dicarboxylate ligands [J]. J. Solid State Chem., 2020, 292: 121 654.
- [28] CHUASAARD T, PANYARAT K, RODLAMUL P, et al. Structural variation and preference in lanthanide-pyridine-2,6-dicarboxylate coordination polymers [J]. Cryst. Growth Des., 2017, 17(3):1 045-1 054.